鉄系超伝導体のネマティック電子状態における 対称性の破れと斜方歪み

笠原 成

京都大学大学院理学研究科 〒606-8502 京都市左京区北白川追分町



鉄系超伝導体は非従来型超伝導の新しい研究舞台である。最近この系において、格子系から期待される面内回転対 称性を電子状態が自発的に破る「電子ネマティック相」の存在が明らかになった。本稿では磁気トルクによる高感 度の面内異方性測定、及び放射光 X 線を用いた高分解能の単結晶構造評価から、この秩序相を紹介する。

1. はじめに

強相関電子系とよばれる物質群では、従来にない複雑な 電子相が現れることが近年の研究から明らかになってきて いる。そのような電子相の一つとして、系の回転対称性を 破って一軸的異方性を示す「電子ネマティック相」とよば れるものがあげられる^{1,2)}。ネマティックという言葉は液 晶の秩序相の一つに因んで付けられたものである。液晶で のネマティック相は,重心位置がばらばらであるが,棒状 分子の方向が全体として異方性を持ち, ある方向を向いて いる状態となっている。このような状態は、並進対称性は 破っていないが回転対称性を破った秩序状態とみなすこと ができる。これに対して、電子系でのネマティック秩序と は、広くは結晶格子から期待される回転対称性を電子系が 自発的に破るような非自明な状態を呼んでおり、電子の多 体系としての応答が異方性を示す場合を液晶の異方性にな ぞらえている。 例えば, 正方晶の結晶を持つ系では, 格子 は面内で4回対称性 (C_4 対称性) を持っているが、電子 ネマティック相では結晶のもつ4回対称性を電子系が自 発的に破る2回回転対称性を持つ。このような C_4 対称性 の破れた電子ネマティック相は, これまで銅酸化物高温超 伝導体の擬ギャップ相で起こっているのではないかとの議 論がなされてきた³⁻⁸⁾。また最近では,重い電子系超伝導 体 URu_2Si_2 の隠れた秩序相 $^{9-11)}$ や、 $Sr_3Ru_2O_7$ の磁場中量 子臨界点の近傍12,13)など、様々な強相関電子系において議 論がなされており、電子間の強いクーロン斥力に加えて、 スピンや多軌道自由度のもたらす新奇な秩序相といえる。 本稿においては、新しい高温超伝導体系である鉄系超伝導 体の常伝導相において得られた, 電子ネマティック相が広 く存在していることを示唆する実験結果14)を紹介した い。まず鉄系超伝導体の基本的な性質にふれたあと、磁気 トルクによる高感度の面内異方性測定、並びに放射光X 線を用いた構造評価の結果を紹介し、この電子ネマティッ ク相が結晶構造にどのように影響を及ぼすかについて議論 する。

2. 鉄系超伝導体の基本物性

鉄系超伝導体は、鉄オキシニクタイド LaFeAs $(O_{1-x}F_x)$ における超伝導発見を契機とした新しい高温超伝導体であ り $^{15-17}$),超伝導転移温度(T_{c})は最高 $56~\mathrm{K}$ と銅酸化物高 温超伝導体に次いで高いものとなっている。結晶構造は, いずれの物質も鉄原子からなる2次元正方格子を有して おり、鉄の3d軌道のすべてがフェルミ準位付近の電子構 造に絡んだ多軌道(多バンド)系の超伝導を示す。これま での研究から従来の格子振動を媒介とした BCS 超伝導機 構ではこの高い転移温度を説明することは不可能であり, 非従来型の機構により電子対形成がもたらされていると考 えられている。現在までに、非連結フェルミ面間のネステ ィングに由来するスピン揺らぎ機構 $^{17-19}$ と、 17 との 19 の 19 における臨界的な揺らぎの増大に基づいた軌道揺らぎ機 構20,21)が提案されており、実験と理論の両面から多くの議 論がなされている。この鉄系超伝導体の電子対形成の起源 を理解するには, スピンや軌道の自由度に起因して現れる 異常物性を実験的に見出し、超伝導発現との関係を明らか にすることが重要と考えられる。

Fig. 1に鉄系超伝導体の母物質の一つ $BaFe_2As_2^{22}$ の結晶構造を示す。この物質は $T_s = T_N \sim 140~K$ において正方晶から斜方晶への構造相転移を示し、これと同時にストライプ型の磁気秩序をもった反強磁性的スピン密度波状態へと転移することが早くから明らかとなっている 22,23)。構造・磁気相転移は元素置換や圧力印加などによって抑制され、これに伴って超伝導が出現する $^{24-28}$)。**Fig. 2** は本稿で紹介する $BaFe_2(As_{1-x}P_x)_2$ の T-x 相図である 2,26,29,30)。この系では As の一部を等価数の P で置換することにより超伝導相が現れるが、広い元素置換範囲にわたって量子振動が観測されるほどの純良単結晶が得られ 31)、本質的な物性を議論するのに非常に適した系といえる。構造・磁気相転移

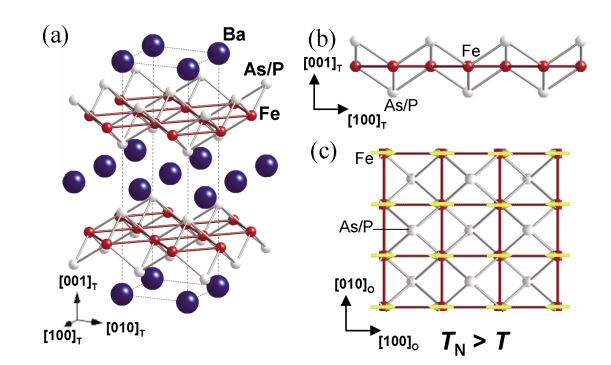


Fig. 1 (Color online) (a) Crystal structure of BaFe₂As₂ in the high-temperature tetragonal phase. (b) A side view of FeAs tetrahedral layer along $[010]_T$ direction. (c) A top view from caxis. Stripe-type magnetism is realized below T_N .

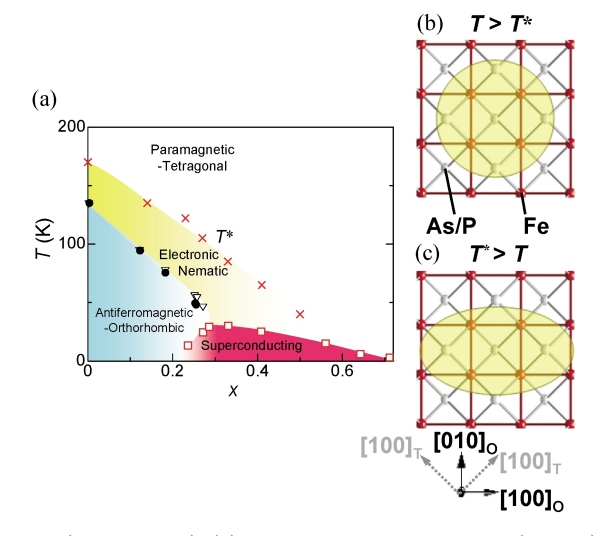


Fig. 2 (Color online) (a) T-x phase diagram of $BaFe_2(As_{1-x}P_x)_2$. $T_S(\nabla)$ and $T_N(\bullet)$ represent structural and magnetic transition temperatures, respectively. A superconducting phase emerges at 0.2 < x < 0.7 with the highest $T_c(\Box) \sim 31$ K. $T^*(\times)$ represents the nematic transition temperature determined by magneto-torque and synchrotron X-ray diffraction measurements. Schematic images of the electronic anisotropy at (b) $T > T^*$ and (c) $T < T^*$.

の消失する近傍において、非フェルミ液体的な電子輸送現象や²⁹⁾、量子振動から見積もられる電子の有効質量の増大³¹⁾、核磁気共鳴測定にみられる反強磁性揺らぎの増大³²⁾、更には超伝導状態における磁場侵入長の発散³³⁾など、様々な物性測定において磁気量子臨界点の存在を示す特異な振る舞いが見られ、超伝導との関連が議論されている。

一方,超伝導に隣接する反強磁性-斜方晶相に関して,最近,一軸圧力により非双晶化した単結晶についての電気抵抗率測定や光学伝導度,角度分解光電子分光の測定が行われ,顕著な面内異方性が報告されている $^{34-42}$ 。興味深いことにこの異方性は,これまで常磁性-正方晶相と考えられてきた $T>T_s$ の温度域においても存在しており,結

晶がもつ C_4 対称性から低下した電子系の状態,即ちネマ ティック状態が実現している可能性が示唆される。これま で鉄系超伝導体では幾つかの実験からネマティック状態が 指摘されているが、これらはすでに対称性の低下した低温 の反強磁性-斜方晶相や,一軸圧力による非双晶化の下で 行われている $^{43,44)}$ 。しかし、この系において自発的な C_4 対称性の破れであるネマティック秩序が形成されているの か否かを明らかにするには、 $T > T_s$ において一軸圧力に よる非双晶化を行なわずに自発的な対称性の破れを調べな ければならない。また、 C_4 対称性の破れが相転移現象と して理解されるのか、さらには、超伝導発現とどのように 関係するのかを明らかにする必要性があり、これには熱力 学的な物理量を含めた相図上の広い範囲に渡る系統的実験 が必要になる。このような目的に適合する実験手法とし て,筆者らは磁気トルクによる高精度の面内異方性測定 と、単結晶放射光X線回折を用いた構造評価に着目し t^{14} 。これまで低温相における双晶ドメインは数 μ m から 数十μm 程度の大きさであることが報告されており45), 双 晶形成による異方性の打ち消しが不完全な微小単結晶試料 を用いて磁気トルク測定を行うことで、非双晶化を行わず とも自発的な回転対称性の破れが観測可能となる。また電 子系における異方性は、格子との有限の結合が存在するこ とによって、僅かな格子歪みを誘起すると考えられるた め、高分解能の構造評価を行うことで電子系に引きずられ た結晶構造における C_4 回対称性の破れの検出を行った。

3. 磁気トルクからみた面内回転対称性の 破れ

磁気トルクは、体積 Vの試料に対して磁場 H と磁化 M の外積を用いて $\tau = \mu_0 VM \times H$ のように定義される熱力学量である。磁化の面内成分は帯磁率テンソル χ_{ij} を用いて $M_i = \Sigma \chi_{ij} H_j$ (i,j=a,b) で与えられるので、Fig. $\mathbf{3}(\mathbf{a})$ のように外部磁場を ab 面内で回転させた場合,a 軸からの面内角度 φ に対して、磁気トルク τ は次のような 2 回対称の形を持つ。

$$\tau_{2\varphi} = (1/2) \ \mu_0 H^2 V [(\chi_{aa} - \chi_{bb}) \sin 2\varphi - 2\chi_{ab} \cos 2\varphi]$$
 (1)

ここで、系の対称性が正方晶から期待される C_4 対称性を持つ場合、 $\chi_{aa}=\chi_{bb}$ 、 $\chi_{ab}=0$ であるため [Fig. 3(b)]、(1) により $\tau_{2\varphi}$ はゼロとなる。一方で電子あるいは磁気状態が自発的に C_4 対称性を破るような場合、 $\chi_{aa}\neq\chi_{bb}$ 或いは $\chi_{ab}\neq0$ となり、磁気トルクの面内角度依存性には、対称性の破れの方向に応じて第1項、或いは第2項で記述される2回対称の振動が観測されることになる。このように磁気トルクは異方性を直接検出するプローブであり、トルクの面内異方性測定は、系の回転対称性の破れを調べる上で非常に強力な手段である 9,14 。

実際の測定結果として、 $BaFe_2(As_{1-x}P_x)_2$ の最適組成近 傍 (x=0.33) の微小単結晶 $(\sim 70 \times 70 \times 30 \, \mu \text{m}^3)$ におけ る結果を示す。測定は微小カンチレバーを用いて行った 「Fig. 3(b)」。Fig. 3(c)上段は磁場 4 T における各温度での トルクの面内角度依存性 $\tau(\varphi)$ であり、中段及び下段には フーリエ解析によって分離した磁気トルクの2回対称成 分及び4回対称成分を示している。ここで、特に2回対 称成分の温度変化に注目すると, 高温ではなかった振動が 低温において出現している。温度依存性から, T^* ~85 K 以下の温度域において2回対称振動の振幅が有限とな り、面内異方性が出現していることが明らかとなった。こ の 2 回対称成分の振動は $\tau = A_{2\varphi} \cos 2\varphi$ の形をもっている ことから、(1)式より有限の χ_{ab} が現れていることに対応 する。すなわち、Fig. 2(c)に示すような $[110]_T$ 方向への異 方性が T*以下において発達していることを意味してお り、電子系が異方性を持つ電子ネマティック相を自発的に 形成していることを強く示唆する。ここで金属の帯磁率は 状態密度を反映したパウリ常磁性を示すが、帯磁率が異方 的となることは、電子状態の対称性の低下を意味してい る。様々な組成の試料で同様の測定を行ったところ, $[110]_T$ 方向への異方性を示す $\tau = A_{2q} \cos 2q$ の形をもった 2回対称振動が $T^* > T > T_s$ から発達しており、組成xの 増加とともに T^* は単調に低下し、Fig. 2(a)に示すように 構造・磁気相転移が消失した超伝導ドームの高温側にまで C_4 対称性の破れた電子ネマティック相が広がり、超伝導

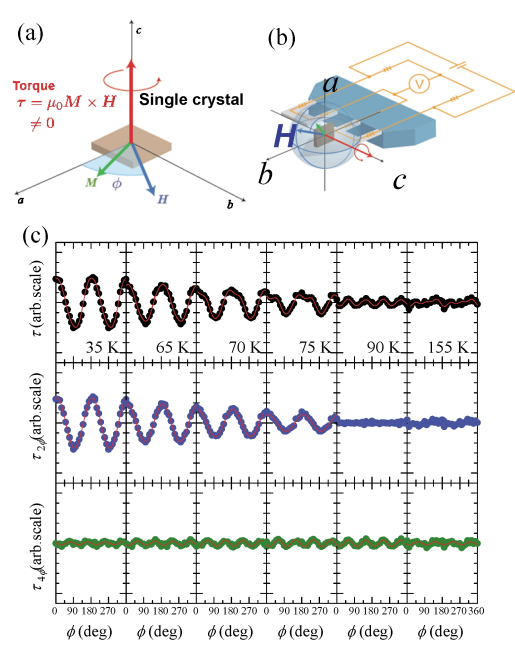


Fig. 3 (Color online) (a), (b) Schematic images of torque magnetometry using micro-cantilever. (c) In-plane angle dependence of magnetic torque in $BaFe_2(As_{1-x}P_x)_2$ for x=0.33. The upper panels show raw data while the middle and lower panels represent the 2-fold and 4fold Fourier components, respectively.

が消失する近傍で C_4 対称性の破れも見られなくなることが分かった。

4. 単結晶放射光 X 線回折による 斜方歪みの検出

磁気トルクで観測された面内異方性の出現は,低温で電子系の対称性が 2 回対称に低下していることを示している。電子系と格子系とのカップリングが有限に存在すれば,結晶構造にも 2 回対称性を反映した斜方歪みが出現することが期待される。この電子系の対称性低下に伴った構造歪みを検出するために,我々は $\mathrm{SPring-8}$ のビームライン $\mathrm{BL02B1}$ において,単結晶放射光 X 線回折による構造評価を行った。特に[110] $_{\mathrm{T}}$ 方向のネマティック状態による歪みに敏感である(hh0)の高次回折ピーク(h=7 or 8)に着目し,同ビームラインの大湾曲イメージングプレートカメラを用いて $2\theta \leq 130^\circ$ までの広角域において回折ピークの温度依存性を調べることで,僅かな構造歪みに対しても敏感な実験を行なった。

Fig. 4 にその結果を示す。母物質では T^* 以上の高温では鋭いシングルピークが見られ、斜方晶相である T_s 以下の低温領域では明確なピークの分離が見られる。これに対し中間の温度領域である $T^*>T>T_s$ においては、完全なピークの分離は見られないものの、高温に比べて半値幅が広がったピークが観測された。半値全幅 (FWHM) とピーク強度の温度変化を調べると、磁気トルクにおいて二回対称成分が出現する T^* でキンク的な振る舞いを示し、T<

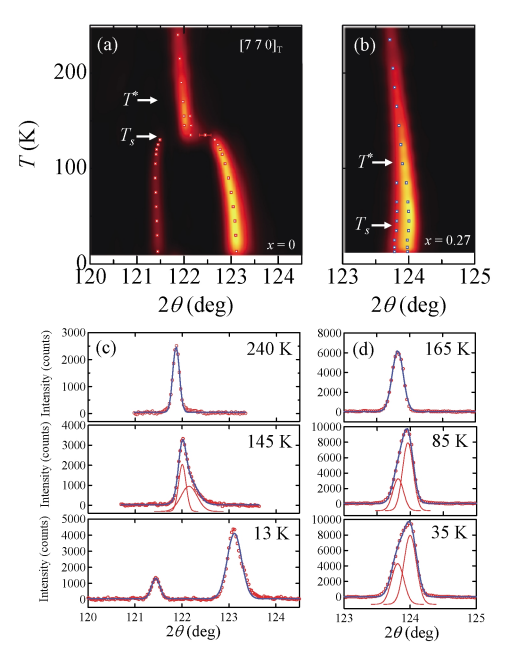


Fig. 4 (Color online) Temperature dependence of high-order $(770)_T$ Bragg peak measured by synchrotron X-ray diffraction for (a) x=0 and (b) x=0.27. (c), (d) Fitting results for 2 peak analysis.

T*で半値全幅が広がりピーク強度が減少した状態へ転移 していることが明らかとなっている14)。回折ピークの異 常の組成依存性をみてみると、その温度は磁気トルクの結 果とよく一致しており、Fig. 2(a)の相図に示したT*以下 で系統的に現れている。また、この温度領域では Fig. 4(c) (d)に示すように、2つのピーク構造を仮定したフィッテ ィングが可能であり、わずかながら斜方歪みが存在するこ とを示している。実際に2ピークフィットにより斜方晶 の歪み量 $\delta = (a_0 - b_0)/(a_0 + b_0)$ の温度依存性を求める と、斜方歪みは T^* 以下で有限となり T_s で増大する振る 舞いを示す14)。ここで強調したいことは、磁気トルクは 磁場中測定であるのに対して、構造解析はゼロ磁場で行っ ている点である。これらの結果が一致して T^* 以下で異常 を示したことは、この温度で系が C_4 対称性の破れた"熱 力学的な相"へと相転移していることを強く示唆する。な お、最近これに類似した僅かな斜方晶歪みの発達が別の鉄 系超伝導体 $SmFeAs(O_{1-x}F_x)$ の粉末 X 線回折においても 見出され報告されている46)。

以上のように、鉄系超伝導体 $BaFe_2(As_{1-x}P_x)_2$ の純良単 結晶を用いた実験から、相図上に C_4 対称性の破れた電子 ネマティック相が反強磁性-斜方晶相から超伝導相の高温 側まで広がっていることが明らかになった。このような C_4 対称性の破れの起源として、スピンネマティックとい われる磁気モーメントは消失しているがスピン空間の回転 対称性の破れた状態⁴⁷⁻⁵⁰⁾と、軌道秩序によるもの⁵¹⁻⁵⁵⁾な どが提案されている。スピンネマティックモデルを出発点 とする場合、これは磁気秩序相の高温側の熱的スピン揺ら ぎにより誘起されると考えられており、基本的に長距離磁 気秩序の存在するx < 0.3の組成域で C_4 対称性の破れを与 える。これに対して Fig. 2 の相図にみられるように電子ネ マティック相は磁気秩序の消失した超伝導ドームの上まで 拡がっておりこのモデルで実験結果を説明するには問題が 残る。これに対して Fe 原子の d_{xz} 軌道と d_{yz} 軌道の占有に 不均衡が生じるような軌道秩序が起きていると考えるなら ば今回観測された電子系のネマティック転移との整合性は 良さそうである。最近 $BaFe_2(As_{1-x}P_x)_2$ について行われた 角度分解光電子分光の測定では、*T**近傍の温度域におい て d_{xz} 軌道と d_{yz} 軌道のバンドに分裂が生じることが見出 されており, 軌道秩序の存在を示している。さらに興味深 い点として、同様の温度域でフェルミ面に部分的にギャッ プが開き、状態密度が減少する"擬ギャップ"が現れるこ とが見出されている⁵⁶⁾。この擬ギャップの存在は光学伝 導度スペクトル測定からも指摘されている57)。軌道秩序 が起こると電子系の回転対称性が破れ、フェルミ面上には 部分的なギャップが開くと予想されるので、一連の結果は 軌道秩序の存在と整合性がよい。また最近、電子ドープ系 $Ba(Fe_{1-x}Co_x)_2As_2$ においても X 線二色偏光の実験から軌 道占有率の不均衡が T_s以上の温度域で見出されてお り58), 光学伝導度測定57), ポイントコンタクト分光測 定⁵⁹⁾でも、やはり擬ギャップ的振る舞いが見出されている。いずれにせよ軌道秩序が起きているならば、どのようなタイプのものか、また、超伝導発現も含め、一連の異常物性がどのように関連付けられるのか、更には銅酸化物超伝導体など、他の強相関電子系とどのような共通の物理が存在するのかなど、今後の研究が一層重要になると考えられる。

6. おわりに

本稿では、純良な単結晶試料が得られる等原子価置換系の鉄系超伝導体 $BaFe_2(As_{1-x}P_x)_2$ を舞台として、電子ネマティック相という C_4 対称性の破れた非自明な秩序相が、これまで構造相転移があると考えられていた温度よりも高温領域に存在していることを紹介した。この電子ネマティック相は相図上で超伝導相を覆うように見えることから、超伝導発現に何らかの寄与をしている可能性があり、特に電子状態の低対称化が超伝導の前提条件のようなものを与えるとすれば、非常に興味深い。ただし、今回見つかった電子ネマティック相が、様々な種類が存在する鉄系高温超伝導体全般に共通して現れるものであるかどうかなど、今後明らかにしなくてはいけない点が山積している。ネマティック秩序の微視的起源を含め、今後その理解が進み、鉄系超伝導の機構解明、更には新奇な物性物理の舞台の発掘へと繋がることを期待したい。

謝辞

本研究は、H. J. Shi,橋本顕一郎,利根川翔,水上雄太,芝内孝禎,杉本邦久,福田竜夫,寺嶋孝仁,A. H. Nevidomskyy,松田祐司の各氏との共同研究に基づくものです。また,J. G. Analytis,A. Q. R. Baron,E. Bascones,A. Carrington,A. V. Chubukov,R. M. Fernandes,I. Fischer,池田浩章,石田憲二,紺谷浩,岡崎竜二,下志万貴博,J. Schmalian の皆様には有益な議論をして頂きました。ここにお礼申し上げます。

参考文献

- S. A. Kivelson, E. Fradkin and V. J. Emery: Nature 393, 550–553 (1998).
- 2) E. Fradkin et al.: Annu. Rev. Condens. Matter Phys. 1, 153–178 (2010).
- 3) Y. Kohsaka et al.: Science 315, 1380-1385 (2007).
- 4) M. J. Lawler et al.: Nature 466, 347–351 (2010).
- 5) V. Hinkov et al.: Science 319, 597–600 (2008).
- Y. Ando, K. Segawa, S. Komiya and A. N. Lavrov: Phys. Rev. Lett. 88, 137005 (2002).
- 7) R. Daou et al.: Nature 463, 519-522 (2010).
- A. Damascelli, Z. Hussain and Z.-X. Shen: Rev. Mod. Phys. 75, 473–541 (2003).
- 9) R. Okazaki et al.: Science 331, 439-442 (2011).
- 10) S. Tonegawa *et al.*: Phys. Rev. Lett. **109**, 036401 (2012).
- 11) H. Ikeda et al.: Nature Physics 8, 528-533 (2012).

- 12) R. A. Borzi et al.: Science 315, 214-217 (2007).
- 13) Y. Ohno, M. Tsuchiizu, S. Onari and H. Kontani, J. Phys. Soc. Jpn. 82, 013707 (2013).
- 14) S. Kasahara et al.: Nature 486, 382 (2012).
- 15) K. Ishida, Y. Nakai and H. Hosono: J. Phys. Soc. Jpn. 78, 062001 (2009).
- 16) G. R. Stewart: Rev. Mod. Phys. 83, 1589 (2011).
- 17) P. J. Hirschfeld, M. M. Korshunov and I. I. Mazin: Rep. Prog. Phys. 74, 124508 (2011).
- 18) I. I. Mazin, D. J. Singh, M. D. Johannes and M. H. Du: Phys. Rev. Lett. 101, 057003 (2008).
- K. Kuroki et al.: Phys. Rev. Lett. 101, 087004 (2008).
- 20) H. Kontani and S. Onari: Phys. Rev. Lett. 104, 157001 (2010).
- 21) Y. Yanagi, Y. Yamakawa and Y. Ōno: Phys. Rev. B 81, 054518 (2010).
- 22) M. Rotter et al.: Phys. Rev. B 78, 020503(R) (2008).
- 23) Q. Huang et al.: Phys. Rev. Lett. 101, 257003 (2008).
- 24) M. Rotter, M. Tegel and D. Johrendt: Phys. Rev. Lett. 101,
- 25) A. S. Sefat et al.: Phys. Rev. Lett. 101, 117004 (2008).
- 26) S. Jiang et al.: J. Phys.: Condens. Matter 21, 382203 (2009).
- 27) S. Sharma et al.: Phys. Rev. B 81, 174512 (2010).
- 28) P. L. Alireza et al.: J. Phys.: Condens. Matter 21, 012208
- 29) S. Kasahara et al.: Phys. Rev. B 81, 184519 (2010).
- A. E. Böhmer et al.: Phys. Rev. B 86, 094521 (2012).
- 31) H. Shishido et al.: Phys. Rev. Lett. 104, 057008 (2010).
- 32) Y. Nakai et al.: Phys. Rev. Lett. 105, 107003 (2010).
- 33) K. Hashimoto et al.: Science 336, 1554–1557 (2012).
- 34) J.-H. Chu et al.: Science 329, 824–826 (2010).
- 35) M. Yi et al.: Proc. Natl. Acad. Sci. USA 108, 6878-6883
- M. A. Tanatar et al.: Phys. Rev. B 81, 184508 (2010).
- 37) M. Nakajima et al.: Proc. Natl. Acad. Sci. USA 108, 12238-12242 (2011).
- 38) A. Dusza et al.: EPL 93, 37002 (2011).
- 39) C. Dhital et al.: Phys. Rev. Lett. 108, 087001 (2012).
- 40) E. C. Blomberg et al.: Phys. Rev. B 85, 144509 (2012).
- 41) S. Ishida et al.: arXiv:1208.1575 (unpublished).
- 42) H.-H. Kuo et al.: Phys. Rev. B 86, 134507 (2012).

- 43) J. Zhao *et al.*: Nature Physics **5**, 555–560 (2009).
- 44) T.-M. Chuang et al.: Science **327**, 181–184 (2010).
- 45) M. A. Tanatar et al.: Phys. Rev. B 79, 180508(R) (2009).
- 46) A. Martinelli et al.: Phys. Rev. Lett. 106, 227001 (2011).
- C. Fang et al.: Phys. Rev. B 77, 224509 (2008). 47)
- Cenke Xu, Markus Muller and Subir Sachdev: Phys. Rev. B 78, 020501(R) (2008).
- 49) R. M. Fernandes *et al.*: Phys. Rev. Lett. **105**, 157003 (2010).
- 50) R. M. Fernandes et al.: Phys. Rev. B 85, 024534 (2012).
- 51) R. R. P. Singh, arXiv:0903.4408 (unpublished).
- C.-C. Lee, W.-G. Yin and W. Ku: Phys. Rev. Lett. 103, 267001 (2009).
- W. Lv, J. Wu and P. Phillips: Phys. Rev. B 80, 224506 53)
- C.-C. Chen et al.: Phys. Rev. B 82, 100504(R) (2010).
- A. H. Nevidomskyy: arXiv:1104.1747 (unpublished).
- T. Shimojima *et al.*: (unpublished).
- 57) S. J. Moon et al.: Phys. Rev. Lett. 109, 027006 (2012).
- Y. K. Kim et al.: arXiv:1112.2243 (unpublished).
- H. Z. Arham et al.: Phys. Rev. B 85, 214515 (2012).

著者紹介

笠原 成

京都大学理学研究科助教

E-mail: kasa@scphys.kyoto-u.ac.jp

専門分野: 固体電子物性

[略歴]

1998年東邦大学理学部物理学科卒業, 2003年同大学院博士課程修了,博士 (理), 同年東京大学大学院工学系研究科学 術研究支援員,2004年同研究機関研究員, 2005年物質・材料研究機構 NIMS ポスド ク研究員,2008年京都大学低温物質科学 研究センター研究員 (研究機関), 2011年 同特任助教,2012年京都大学大学院理学 研究科物理学•宇宙物理学専攻助教。

Symmetry breaking and orthorhombic lattice distortion in the electronic nematic state of iron-based superconductors

Shigeru KASAHARA Graduate School of Sciences, Kyoto University, Sakyo-ku, Kyoto, 606-8502, Japan

Abstract The discovery of iron-based superconductors has opened up a new playground for the investigations of unconventional superconductivity. Recent experiments in this system intriguingly show the presence of electronic nematic phase, a self organized electronic state with broken in-plane rotational symmetry. The presence of the electronic nematic phase is discussed based on the results on highly sensitive in-plane torque magnetometry and single crystalline synchrotron X-ray diffraction experiment.